

ской химии, т. 40, 1966, № 4, с. 965 – 966. 4. Карнаухов, А.П. Глобулярная модель пористых тел корпускулярного строения. – Кинетика и катализ, т. 12, 1971, Вып. 4, с. 1025 – 1033. 5. Карнаухов, А.П. Модели пористых систем. – В кн.: Моделирование пористых материалов. Новосибирск, 1976, с. 42 – 59. 6. Фукс, Н.А., Кирш, А.А., Стечкина, И.Б. Динамические методы исследования структуры волокнистых фильтров. – В кн.: Адсорбция и пористость, М.: Наука, 1976, с. 313 – 317. 7. Шейдеггер, А.Э. Физика течения жидкостей через пористые среды. – М.: Гостоптехиздат, 1960. 249 с. 8. Коллинз, Р. Течение жидкостей через пористые материалы. – М.: Мир, 1964, 350 с. 9. Косторнов, А.Г. Параметры пористой структуры проницаемых материалов. Сообщение 1. Теоретические предпосылки и модельные исследования. – Порошковая металлургия, 1978, № 4, с. 34 – 40. 10. Кудряшов, А.Ф., Волгин, В.Д., Планский А.Н. Определение экспериментального ряда распределения пор по размерам в пористых телах применительно к процессам фильтрации и ультрафильтрации. – В кн.: Химическое машиностроение. М., 1974, Вып. 1, с. 108 – 114. 11. Фенелонов, В.Б., Загорская, Р.В. Некоторые вопросы моделирования структуры катализаторов, носителей и адсорбентов. – В кн.: Моделирование пористых материалов. Новосибирск, 1976, с. 60 – 77. 12. Лейбензон, Л.С. Движение природных жидкостей и газов в пористой среде. – М. – Л.: Гостехиздат, 1947. 244 с.

УДК 531.8

*Ширко А.В., Камлюк А.Н., Немцов В.Б.*

## МЕХАНИКА СВЕРХСКРУЧЕННЫХ СТЕРЖНЕЙ С ВИНТОВОЙ СТРУКТУРОЙ

*Белорусский государственный технологический университет  
Минск, Беларусь*

**Введение.** Для описания поведения сложных систем и явлений часто используются упрощенные модели. Одной из широко используемых моделей является модель упругого стержня с круговым поперечным сечением.

Данная модель получила применение для исследования упругих свойств не только механических объектов. Как оказалось модель в виде стержня позволяет успешно изучать также классы веществ и материалов как эластомеры, ЖК-полимеры и биомолекулы [1, 2].

В данной работе исследуются равновесные формы сверхскрученных стержней. Для анализа используется модель упругого изотропного гомогенного стержня единичной длины с круглым поперечным сечением при больших нелинейных деформациях кручения и изгиба.

**Постановка задачи.** Каждому значению естественной координаты  $s$  ( $0 \leq s \leq 1$ ), отсчитываемой вдоль оси стержня, соответствует определенное значение радиус-вектора  $\mathbf{r}^{(s)}$ . Ориентация поперечного сечения стержня задается ортогональной системой единичных векторов  $(\mathbf{d}_1, \mathbf{d}_2, \mathbf{d}_3)$ . Вектор  $\mathbf{d}_3$ , нормальный к плоскости сечения, является первой производной от радиус-вектора  $\mathbf{d}_3 = \mathbf{r}'$ . Штрих означает дифференцирование по  $s$ . Векторы  $\mathbf{d}_1$  и  $\mathbf{d}_2$  лежат в плоскости сечения и совпадают с его главными осями.

Разложение вектора полной деформации  $\mathbf{u}$  по ортогональному базису  $(\mathbf{d}_1, \mathbf{d}_2, \mathbf{d}_3)$  имеет вид

$$\mathbf{u} = u_1 \mathbf{d}_1 + u_2 \mathbf{d}_2 + u_3 \mathbf{d}_3.$$

Составляющие  $u_1$  и  $u_2$  описывают изгиб стержня, а составляющая  $u_3$  – его кручение. Используя кинематику ориентационной деформации [3] вектор  $\mathbf{u}$  можно записать в форме

$$\mathbf{u}(\mathbf{d}_1, \mathbf{d}_2, \mathbf{d}_3) = \frac{1}{2} \left( \mathbf{d}_1 \times \frac{d\mathbf{d}_1}{ds} + \mathbf{d}_2 \times \frac{d\mathbf{d}_2}{ds} + \mathbf{d}_3 \times \frac{d\mathbf{d}_3}{ds} \right). \quad (1)$$

Равновесие стержня соответствует минимуму энергии деформации при определенных

ограничениях, наложенных на пространственные конфигурации стержня.

Энергию деформации  $U$  выразим через деформации изгиба и кручения  $u_i(s)$ :

Будем предполагать, что в отсутствии внешних сил стержень имеет определенную начальную конфигурацию  $(\mathbf{d}_1^0(s), \mathbf{d}_2^0(s), \mathbf{d}_3^0(s))$  с минимальной энергией, отвечающей деформациям  $u_i^0(s) = (\mathbf{d}_1^0, \mathbf{d}_2^0, \mathbf{d}_3^0)$ .

Энергию деформации выразим с помощью ее линейной плотности  $W(u_1, u_2, u_3, s)$ ,

$$U = \int_0^1 W(u_1(s), u_2(s), u_3(s), s) ds, \quad (2)$$

где  $W(u_1, u_2, u_3, s) = \frac{1}{2} \sum_{i=1}^3 K_i (u_i - u_i^0)^2$  ( $K_1 = K_2$  – жесткости на изгиб,  $K_3 = 0.8K_1$  – жесткость на кручение).

Для кольцевых форм функционал (2) должен удовлетворять трем условиям: во-первых, условию замкнутости кольца, являющимся интегральной связью (см. рис.1)

$$\mathbf{r}(1) = \mathbf{r}(0) \quad \text{или} \quad \int_0^1 \mathbf{d}_3(s) ds = 0, \quad (3)$$

во-вторых, условию равенства векторов касательных в начальной и конечной точках кольца

$$\mathbf{d}_3(1) = \mathbf{d}_3(0), \quad (4)$$

и в третьих, условию связи нормали и бинормали в начальной и конечной точках кольца

$$\begin{aligned} \mathbf{d}_1(1) &= \cos \alpha \mathbf{d}_1(0) + \sin \alpha \mathbf{d}_2(0), \\ \mathbf{d}_2(1) &= -\sin \alpha \mathbf{d}_1(0) + \cos \alpha \mathbf{d}_2(0). \end{aligned}$$

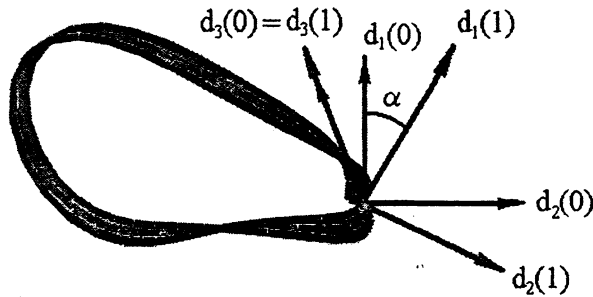


Рисунок 1 - Граничные условия для кольца

$\mathbf{d}_1(s)$  – бинормаль;  $\mathbf{d}_2(s)$  – нормаль;  $\mathbf{d}_3(s)$  – касательная;  $\alpha$  – угол поворота сечения стержня в начальном положении относительно его конечного положения

**Уравнения равновесия.** Компоненты ортогональной тройки векторов можно выразить с помощью углов Эйлера. Однако при решении уравнений равновесия записанных через углы Эйлера возникают существенные трудности, связанные с сингулярностью и вырожденностью якобиана. В данном представлении удастся описать равновесные конфигурации стержня без учета кручения. Поэтому для построения уравнений равновесия используем алгебру кватернионов [4, 5].

Ориентацию поперечных сечений стержня зададим с помощью компонентов кватерниона  $\mathbf{q} = \mathbf{q}(s) = (q_1, q_2, q_3, q_4) \in \mathbb{H}^4$ ,

$$[\mathbf{d}_1(\mathbf{q}) \mathbf{d}_2(\mathbf{q}) \mathbf{d}_3(\mathbf{q})] = \begin{bmatrix} q_1^2 - q_2^2 - q_3^2 + q_4^2 & 2q_1q_2 - 2q_3q_4 & 2q_1q_3 + 2q_2q_4 \\ 2q_1q_2 + 2q_3q_4 & -q_1^2 + q_2^2 - q_3^2 + q_4^2 & 2q_2q_3 - 2q_1q_4 \\ 2q_1q_3 - 2q_2q_4 & 2q_2q_3 + 2q_1q_4 & -q_1^2 - q_2^2 + q_3^2 + q_4^2 \end{bmatrix}.$$

Учтем, что в ортогональной системе координат  $(\mathbf{d}_1, \mathbf{d}_2, \mathbf{d}_3)$  кватернион имеет норму  $|\mathbf{q}|=1$ .

Деформации  $u_i$ , выраженные в компонентах кватерниона с помощью формул (1) и учитывая норму кватерниона, примут вид

$$\begin{aligned} u_1(s) &= -2q_1q_4' + 2q_2q_3' - 2q_3q_2' + 2q_4q_1', \\ u_2(s) &= -2q_1q_3' - 2q_2q_4' + 2q_3q_1' + 2q_4q_2', \\ u_3(s) &= 2q_1q_2' - 2q_2q_1' - 2q_3q_4' + 2q_4q_3'. \end{aligned}$$

Для минимизации функционала (2), учитывая ограничения (3) и норму кватерниона составим функцию Лагранжа вида [6]

$$L(\mathbf{q}, \mathbf{q}', s) = W(\mathbf{q}, \mathbf{q}', s) - \lambda \cdot \mathbf{d}_3(\mathbf{q}) - \mu(s)|\mathbf{q}|, \quad (5)$$

где  $\lambda = (\lambda_1, \lambda_2, \lambda_3)$ ,  $\mu(s)$  – множители Лагранжа. Последнее слагаемое представляет собой конечную или дифференциальную связь.

Уравнения равновесия стержня получим с помощью системы уравнений Эйлера-Лагранжа в следующей форме:

$$\frac{d}{ds} \frac{\partial L}{\partial q_k'} - \frac{\partial L}{\partial q_k} = 0, \quad k=1..4. \quad (6)$$

Для решения нелинейной системы (6) используем конечно-разностную аппроксимацию производных:

$$\begin{aligned} q_k' &= \frac{q_k^{i+1} - q_k^{i-1}}{2\Delta s}, \\ q_k'' &= \frac{\frac{q_k^{i+1} - q_k^i}{\Delta s} - \frac{q_k^i - q_k^{i-1}}{\Delta s}}{\Delta s} = \frac{q_k^{i+1} - 2q_k^i + q_k^{i-1}}{(\Delta s)^2}, \end{aligned}$$

где  $\Delta s$  – шаг дискретизации.

Полученная система уравнений содержит  $5n+3$  неизвестных ( $n$  – число разбиений стержня на участки). Дополнительные  $n+3$  уравнения получены из условия (3), представленного в дискретной форме:

$$\sum_{i=0}^n \mathbf{d}_3(\mathbf{q})_i = 0, \quad (7)$$

и условия выполнения нормы кватерниона на каждом дискретном шаге

$$|\mathbf{q}_i| = 1. \quad (8)$$

Для проведения численного анализа полученной системы (6), представленной в дискретно-разностной форме и дополнительных уравнений (7), (8) стержень был разделен на 6 частей. Расчеты проводились в безразмерной форме, для чего каждое уравнение системы (7) было умножено на отношение  $1/K_1$ . Поиск решений данной системы уравнений был осуществлен по методу Ньютона – Рафсона [7, 8], при соответствующих граничных условиях

$$\begin{aligned} \mathbf{r}(0) &= \langle 0, 0, 0 \rangle, \quad \mathbf{r}(1) = \langle 0, 0, 0 \rangle, \\ q_1(0) &= q_2(0) = q_3(0) = 0, \\ \mathbf{q}(1) &= \langle 0, 0, -\sin(\alpha/2), -\cos(\alpha/2) \rangle. \end{aligned}$$

Будем полагать, что стержень имеет такую естественную конфигурацию, что кривизны  $u_1^0 = u_2^0 = 0$  (прямолинейный стержень), а кручение  $u_3^0$ , которое определяет естественную спиральность, варьируется в диапазоне от 0 до  $2\pi$ . Исследуем два существенно отличающихся друг от друга варианта стержней. Сначала рассмотрим равновесные конфигурации незакрученного стержня ( $u_3^0 = 0$ ), а затем – закрученного с  $u_3^0 = 2$ .

В качестве начального приближения были взяты координаты кольца единичной длины, выраженные через углы Эйлера ( $\theta_i = 0..2\pi$ ,  $\varphi_i = 0$ ,  $\psi_i = 0$ ), а затем преобразованы в компоненты кватерниона с помощью формул:

$$\begin{aligned} q_1^i &= \sin\left(\frac{\theta_i}{2}\right) \cos\left(\frac{\varphi_i - \psi_i}{2}\right), \quad q_2^i = \sin\left(\frac{\theta_i}{2}\right) \sin\left(\frac{\varphi_i - \psi_i}{2}\right), \\ q_3^i &= \cos\left(\frac{\theta_i}{2}\right) \sin\left(\frac{\varphi_i + \psi_i}{2}\right), \quad q_4^i = \cos\left(\frac{\theta_i}{2}\right) \sin\left(\frac{\varphi_i + \psi_i}{2}\right). \end{aligned}$$

Поиск равновесных конфигураций проводился при различных значениях  $\alpha$  (см. рис.1), которые связаны с крутящим моментом соотношением  $M_3 = K_3\alpha$ . После определения первой равновесной конфигурации, соответствующей значению  $\alpha = 0$ , эта форма принималась за начальное приближение на следующем шаге ( $\alpha + \Delta\alpha$ ), причем  $\Delta\alpha$  непосредственно влияет на продолжительность времени счета. Так, мы принимали  $\Delta\alpha = \pi/20$ , что соответствовало машинному времени  $\sim 20$  часов. Расчеты проводились в системе Maple.

Координаты точек стержня, отвечающие положению его равновесия, можно записать следующим образом:

$$\begin{aligned} X(s)_n &= \sum_{i=0}^n (\mathbf{d}_3(\mathbf{q})_i)_x \Delta s = \sum_{i=0}^n (2q_1^i q_3^i + 2q_2^i q_4^i) \Delta s, \\ Y(s)_n &= \sum_{i=0}^n (\mathbf{d}_3(\mathbf{q})_i)_y \Delta s = \sum_{i=0}^n (2q_2^i q_3^i - 2q_1^i q_4^i) \Delta s, \\ Z(s)_n &= \sum_{i=0}^n (\mathbf{d}_3(\mathbf{q})_i)_z \Delta s = \sum_{i=0}^n \left( -(q_1^i)^2 - (q_2^i)^2 + (q_3^i)^2 + (q_4^i)^2 \right) \Delta s, \end{aligned} \quad (9)$$

где  $\Delta s = 1/30$ .

**Обсуждение результатов.** Для равновесных конфигураций, соответствующих различным значениям крутящего момента, можно рассчитать энергию изгиба и энергию кручения как функцию безразмерного крутящего момента  $M_t = \alpha = M_3 / K_3$

$$U_b(M_t) = \frac{1}{2} \sum_{i=0}^n \left( K_1 (u_1(\mathbf{q})_i - u_1^0)^2 + K_2 (u_2(\mathbf{q})_i - u_2^0)^2 \right),$$

$$U_t(M_t) = \frac{1}{2} \sum_{i=0}^n K_3 (u_3(\mathbf{q})_i - u_3^0)^2.$$

График соответствующих энергий отнесенных к  $K_1$  приведен на рисунке 2 и рисунке 3.

Если не учитывать естественную спиральность стержня, то изменения энергии при воздействии него положительным крутящим моментом (направление кручения соответствует направлению винтовой линии) и отрицательным моментом являются строго симметричными по  $M_t$  (рисунок 2). За нулевой уровень принят уровень при  $M_t = 0$ . Иная картина имеет место, если в выражении для энергии учесть собственную спиральность стержня. В этом случае графики не являются симметричными по  $M_t = 0$  (рис. 3).

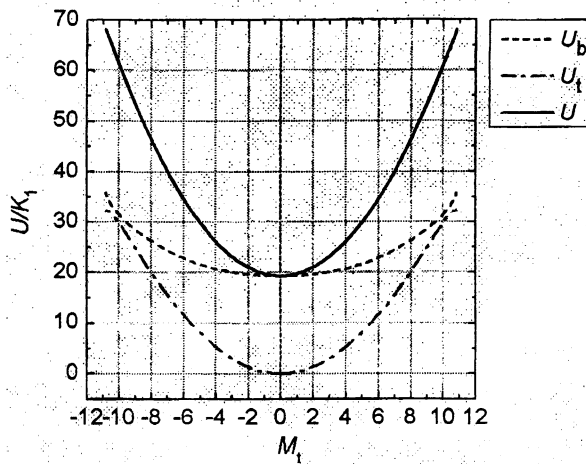


Рисунок 2 - Энергия при  $u_3^0 = 0$

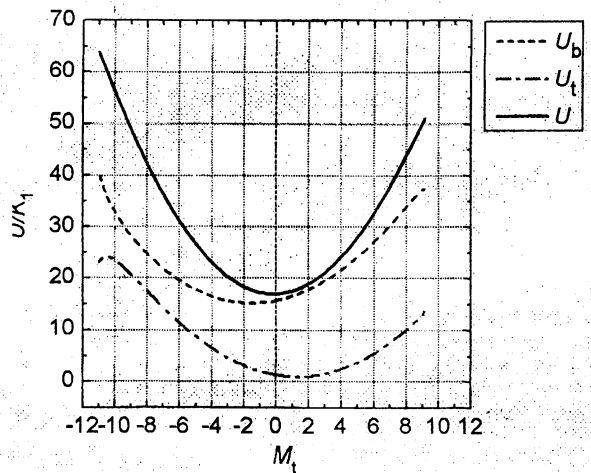


Рисунок 3 - Энергия при  $u_3^0 = 2$

При положительном крутящем моменте ярко выражен рост функции  $U_b$  и уменьшение  $U_t$  на участке графика, соответствующем малым  $M_t$ , а при отрицательном крутящем моменте наоборот ярко выражен рост  $U_t$  при уменьшении  $U_b$  при тех же  $M_t$ . Данный факт свидетельствует о том, что собственная крутка существенно влияет на процесс сверхспирализации при небольших деформациях.

При больших деформациях, соответствующих  $M_t$  порядка 10, как при положительном, так и при отрицательном крутящих моментах энергии изгиба и кручения возрастают. Однако следует отметить, что данный рост количественно отличается один от другого, что свидетельствует о различных эффектах, проходящих на рассматриваемом участке кривых, представленных на рисунке 3.

Полученные результаты могут найти применение для изучения биологических систем с винтовой структурой, например, для исследования процесса сверхспирализации молекулы ДНК.

## ЛИТЕРАТУРА

1. Julicher, F. Supercoiling transitions of closed DNA // Phys. Rev. E. – 1994. – V. 49, № 3. – P. 2429–2435.
2. Westcott, T. P., Tobias, I., Olson, W. K. Elasticity theory and numerical analysis of DNA supercoiling: an application to DNA looped // J. Phys. Chem. – 1995. – V. 99. – P. 17962–17935.
3. Nemtsov, V. B. Thermodynamical description of the thermochemical mechanisms of DNA deformation // NPCS. 2000. V. 3, № 1. P. 37–40.
4. Benham, C. J. Geometry and mechanics of DNA superhelicity // Biopolymers. – 1983. – V. 22. – P. 2477–2495.
5. Рашевский, П. К. Курс дифференциальной геометрии. – М.: Гос. издат. технико-теоретической литературы. – 1950. – 428 с.
6. Мышкис, А. Д. Математика для ВТУЗов. Специальные курсы. М.: Наука. – 1971. – 632 с.
7. Амосов, А. А., Дубинский, Ю. А., Копченова, Н. В. Вычислительные методы для инженеров. – М.: Высшая школа. – 1994. – 545 с.
8. Дэннис, Дж., Шнабель, Р. Численные методы безусловной оптимизации и решения нелинейных уравнений. – М.: Мир. – 1988. – 440 с.